

# Ψηφιακή Επεξεργασία Σήματος & Εικόνας

## Μάθημα 16<sup>ο</sup>

Ελληνικό Μεσογειακό Πανεπιστήμιο  
Τμήμα Ηλεκτρονικών Μηχανικών

Διακριτός μετασχηματισμός Fourier (συνέχεια...)

A. Μπακλέζος

[abaklezos@hmu.gr](mailto:abaklezos@hmu.gr)

## Διακριτός μετασχηματισμός Fourier

- Υπολογισμός διακριτού μετασχηματισμού Fourier:

Από ορισμό :

Παράδειγμα : Να υπολογιστεί ο DFT N-σημείων του  $x[n] = u[n] - u[n - n_0]$ , ( $0 \leq n_0 \leq N - 1$ ).

Απάντηση: Ο DFT του δοθέντος παλμού υπολογίζεται από τον ορισμό, ως εξής:

$$X[k] = \sum_{n=0}^{N-1} x[n] \cdot W_N^{nk} = \sum_{n=0}^{n_0-1} W_N^{nk} = \frac{1 - W_N^{kn_0}}{1 - W_N^k}, \quad k = 0, 1, \dots, N - 1$$

$$\sum_{n=0}^{M-1} a^n = \frac{1 - a^M}{1 - a}$$

Βγάζοντας κοινό παράγοντα τον όρο  $W_N^{kn_0/2}$  στον αριθμητή και τον όρο  $W_N^{k/2}$  στον παρονομαστή, ο DFT γράφεται:

$$X[k] = \frac{W_N^{kn_0/2} (W_N^{-kn_0/2} - W_N^{kn_0/2})}{W_N^{k/2} (W_N^{-k/2} - W_N^{k/2})} = W_N^{k(n_0-1)/2} \frac{(W_N^{-kn_0/2} - W_N^{kn_0/2})}{(W_N^{-k/2} - W_N^{k/2})}$$

Χρησιμοποιώντας τη σχέση Euler, έχουμε:

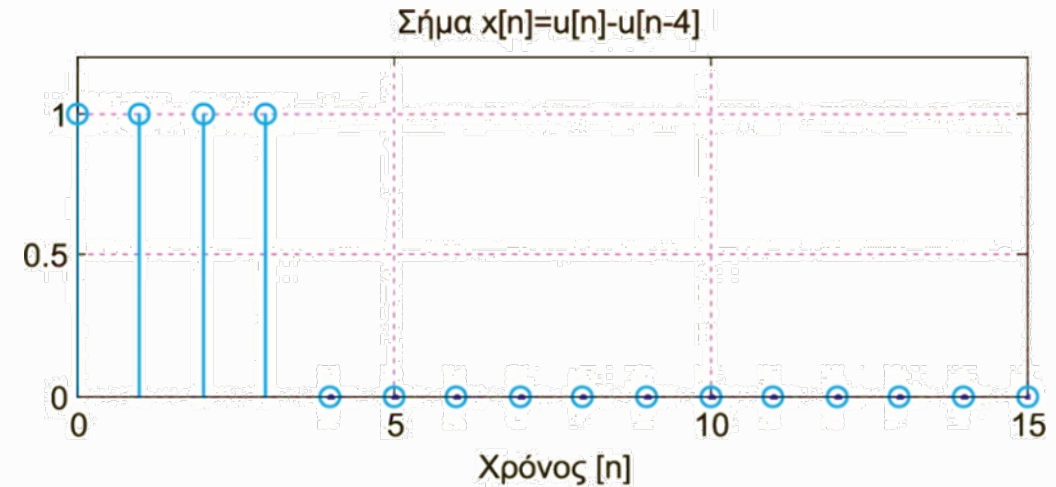
$$X[k] = e^{-j\frac{2\pi k}{N}(\frac{n_0-1}{2})} \frac{\sin(n_0\pi k/N)}{\sin(\pi k/N)}, \quad k = 0, 1, \dots, N - 1$$

## Διακριτός μετασχηματισμός Fourier

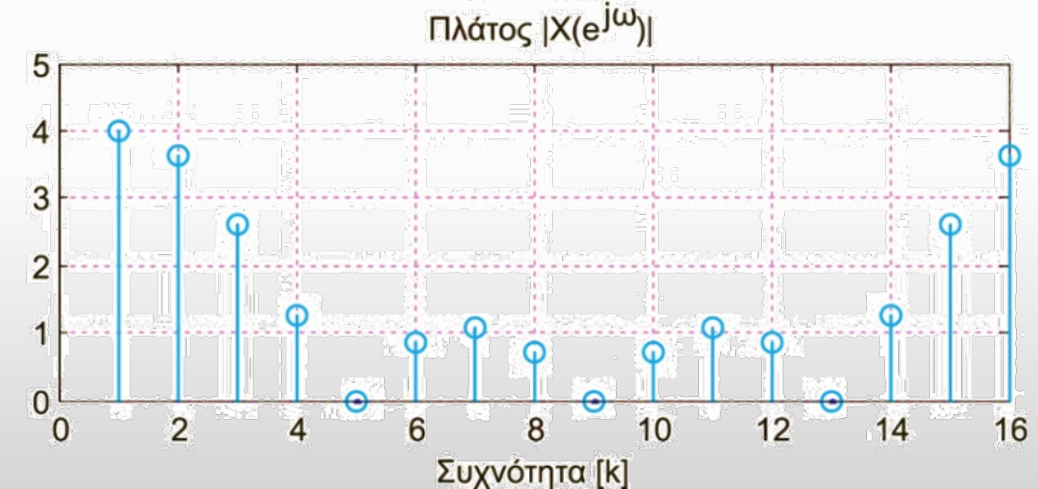
### Παράδειγμα :

Να υπολογιστεί ο DFT N-σημείων του  $x[n] = u[n] - u[n - 4]$ ,

(α) Παλμός  $x[n] = u[n] - u[n - 4]$ ,



(β) Φάσμα πλάτους DFT 16-σημείων



## Διακριτός μετασχηματισμός Fourier

- Υπολογισμός διακριτού μετασχηματισμού Fourier:

Από ορισμό :

- Παράδειγμα : DFT 10 σημείων  $N=10$  για  $x[n] = u[n] - u[n-2] = \{1, 1, 0, 0, 0, 0, 0, 0, 0, 0\}$

$$X_{10}[k] = \sum_{n=0}^9 x[n] \cdot W_{10}^{nk}, k \in [0, 9], W_{10} = e^{-j\frac{2\pi}{10}} = e^{-j\frac{\pi}{5}}$$

$$X_{10}[k] = \sum_{n=0}^9 (u[n] - u[n-2]) \cdot (W_{10})^{nk} = \sum_{n=0}^1 1 \cdot (W_{10})^{nk} = \sum_{n=0}^1 (W_{10}^k)^n = \frac{1 - (W_{10}^k)^2}{1 - W_{10}^k}, k \in [0, 9]$$

$$\sum_{n=0}^{M-1} a^n = \frac{1 - a^M}{1 - a}$$

$$\rightarrow X_{10}[k] = \frac{1 - e^{-jk\frac{2\pi}{5}}}{1 - e^{-jk\frac{\pi}{5}}} = \frac{(1 - e^{-jk\frac{\pi}{5}})(1 + e^{-jk\frac{\pi}{5}})}{1 - e^{-jk\frac{\pi}{5}}} = 1 + e^{-jk\frac{\pi}{5}}, k \in [0, 9]$$

Εναλλακτικά απλά το άθροισμα:

$$\sum_{n=0}^1 (W_{10}^k)^n = (e^{-j\frac{\pi}{5}})^0 + (e^{-j\frac{\pi}{5}})^1 = 1 + e^{-jk\frac{\pi}{5}}, k \in [0, 9]$$

## Διακριτός μετασχηματισμός Fourier

- Υπολογισμός αντίστροφου διακριτού μετασχηματισμού Fourier:

Από ορισμό IDFT ή μέσω DFT N σημείων (με δύο τρόπους)

- Ο αντίστροφος διακριτός μετασχηματισμός Fourier (Inverse Discrete Fourier Transform – IDFT) N σημείων ορίζεται :

$$x[n] = \frac{1}{N} \sum_{k=0}^{N-1} X[k] \cdot W_N^{-nk}, n \in [0, N - 1]$$

με  $W_N = e^{-j\frac{2\pi}{N}}$  (παράγοντας φάσης ή στροβιλισμού – phase/twiddle factor)

## Διακριτός μετασχηματισμός Fourier

- Υπολογισμός αντίστροφου διακριτού μετασχηματισμού Fourier:  
Από ορισμό IDFT ή μέσω DFT N σημείων (με δύο τρόπους)
- 1<sup>ος</sup> τρόπος : μέσω DFT N σημείων της συζυγούς ακολουθίας  $X^*[k]$

$$x[n] = \frac{1}{N} \left( \sum_{k=0}^{N-1} X^*[k] \cdot W_N^{nk} \right)^*, n \in [0, N-1]$$

Απόδειξη :

$$\begin{aligned} x[n] &= \frac{1}{N} \sum_{k=0}^{N-1} X[k] \cdot W_N^{-nk} \rightarrow x^*[n] = \frac{1}{N} \sum_{k=0}^{N-1} X^*[k] \cdot W_N^{nk} \rightarrow \\ x[n] &= \left( \frac{1}{N} \sum_{k=0}^{N-1} X^*[k] \cdot W_N^{nk} \right)^* = \frac{1}{N} \left( \sum_{k=0}^{N-1} \mathbf{X^*[k]} \cdot W_N^{nk} \right)^* \end{aligned}$$

- ❖ πρώτα υπολογίζεται η συζυγής ακολουθία  $\mathbf{X^*[k]}$  της ακολουθίας  $X[k]$ , μετά υπολογισμός DFT N σημείων της ακολουθίας  $X^*[k]$ , μετά υπολογίζεται η συζυγής ακολουθία του DFT N σημείων της ακολουθίας και τέλος γίνεται διαίρεση με το N

## Διακριτός μετασχηματισμός Fourier

- Υπολογισμός αντίστροφου διακριτού μετασχηματισμού Fourier:
- 2<sup>ος</sup> τρόπος : μέσω DFT N σημείων της ακολουθίας  $X[k]$

$$x[n] = \frac{1}{N} f[N - n], n \in [0, N - 1] \text{ με } f[n] = \frac{1}{N} \sum_{k=0}^{N-1} X[k] \cdot W_N^{nk}$$

Απόδειξη :

Θεωρούμε την ακολουθία  $f[n]$

$$f[n] = \frac{1}{N} \sum_{k=0}^{N-1} X[k] \cdot W_N^{nk}$$

Όμως  $W_N^N = (e^{-j\frac{2\pi}{N}})^N = e^{-j2\pi} = \cos(-2\pi) + j\sin(-2\pi) = \cos(2\pi) - j\sin(2\pi) = 1$

και  $W_N^{Nk} = (W_N^N)^k = 1^k = 1$ , και  $W_N^{(N-n)k} = W_N^{Nk} \cdot W_N^{-nk} = 1 \cdot W_N^{-nk} = W_N^{-nk}$

Έτσι ισχύει :

$$x[n] = \frac{1}{N} \sum_{k=0}^{N-1} X[k] \cdot W_N^{-nk} = \frac{1}{N} \sum_{k=0}^{N-1} X[k] \cdot W_N^{(N-n)k} = \frac{1}{N} f[N - n]$$

- ❖ πρώτα υπολογίζεται η ακολουθία  $f[n]$  (DFT N σημείων της  $X[k]$ ), μετά υπολογίζεται η ακολουθία  $f[N - n]$  και τέλος γίνεται διαίρεση με το N.

## Διακριτός μετασχηματισμός Fourier

- Σχέση του DFT με DTFT :

μια ακολουθία  $x[n]$  πεπερασμένου μήκους  $N$  που μηδενίζεται εκτός του διαστήματος  $[0, N - 1]$  έχει DTFT :

$$\text{DTFT}\{x[n]\} = X(e^{-j\omega}) = \sum_{n=-\infty}^{+\infty} x[n]e^{-j\omega n} = \sum_{n=-\infty}^{-1} x[n]e^{-j\omega n} + \sum_{n=0}^{N-1} x[n]e^{-j\omega n} + \sum_{n=N}^{+\infty} x[n]e^{-j\omega n} = \sum_{n=0}^{N-1} x[n]e^{-j\omega n}$$

*Note: Red arrows in the original image point from the limits  $-\infty$  and  $+\infty$  to a red '0', indicating that the signal is zero outside the range  $[0, N-1]$ .*

- DTFT Συνεχής συνάρτηση της συνεχούς μεταβλητής  $\omega$

Τότε, ο διακριτός μετασχηματισμός Fourier (DFT)  $N$  σημείων προκύπτει από τον μετασχηματισμό Fourier διακριτού χρόνου (DTFT) για τις ισαπέχουσες συχνότητες (DFT δειγματοληψία του DTFT)  $\omega_k = k \frac{2\pi}{N}, k \in [0, N - 1]$  :

$$\text{DFT}\{x[n]\} = X[k] = X(e^{-j\omega}) \Big|_{\omega_k = k \frac{2\pi}{N}} = X(e^{-jk \frac{2\pi}{N}}) = \sum_{n=0}^{N-1} x[n]e^{-jk \frac{2\pi}{N}n}$$

- DFT Διακριτή ακολουθία που αντιστοιχεί στα δείγματα του DTFT



## Διακριτός μετασχηματισμός Fourier

Η ποσότητα  $\Delta\omega_k = 2\pi/N$  είναι η απόσταση ανάμεσα σε διαδοχικά δείγματα του DTFT και ονομάζεται **πυκνότητα** του DFT στο πεδίο της συχνότητας.

Η πυκνότητα βελτιώνεται όσο αυξάνεται το πλήθος  $N$  των συντελεστών του DFT δηλαδή το το πλήθος των δειγμάτων του σήματος

**Προσοχή:** Δεν πρέπει να συγχέεται η **πυκνότητα** του φάσματος με την **ευκρίνεια** του φάσματος

- Zero padding:

Αυξάνεται το  $N$ , άρα ελαττώνεται το βήμα  $\omega_k = k \frac{2\pi}{N}, k \in [0, N - 1]$

Με το zero padding ουσιαστικά αυξάνεται η συχνότητα δειγματοληψίας του DTFT

Βελτιώνεται η πυκνότητα στο φάσμα (συχνότητες)

❖ Αν η ακολουθία είναι περιοδική, τότε η ευκρίνεια του DFT αυξάνει εφόσον περιληφθούν στον υπολογισμό του DFT περισσότερες από μία περιόδους της ακολουθίας.

## Διακριτός μετασχηματισμός Fourier

**Παράδειγμα:** (α) Να υπολογιστεί ο DFT 4-σημείων του παλμού  $x[n] = u[n] - u[n - 4]$

Ισχύει:  $x[n] = \delta[n] + \delta[n - 1] + \delta[n - 2] + \delta[n - 3]$ .

Ο DFT 4-σημείων είναι:

$$X[k] = \sum_{n=0}^3 x[n] W_4^{nk} = x[0]W_4^{0k} + x[1]W_4^{1k} + x[2]W_4^{2k} + x[3]W_4^{3k}, \quad 0 \leq k \leq 3$$

Υπολογίζουμε τα σημεία  $X[k]$  για  $0 \leq k \leq 3$ .

$$X[0] = W_4^0 + W_4^0 + W_4^0 + W_4^0 = 1 + 1 + 1 + 1 = 4$$

$$X[1] = W_4^0 + W_4^1 + W_4^2 + W_4^3 = 1 - j - 1 + j = 0$$

$$X[2] = W_4^0 + W_4^2 + W_4^4 + W_4^6 = 1 - 1 + 1 - 1 = 0$$

$$X[3] = W_4^0 + W_4^3 + W_4^6 + W_4^9 = 1 + j - 1 - j = 0$$

Επομένως ο DFT 4-σημείων είναι:

$$X[k] = \begin{cases} 4, & n = 0 \\ 0, & n = 1, 2, \dots \end{cases}$$

Ο DTFT είναι:

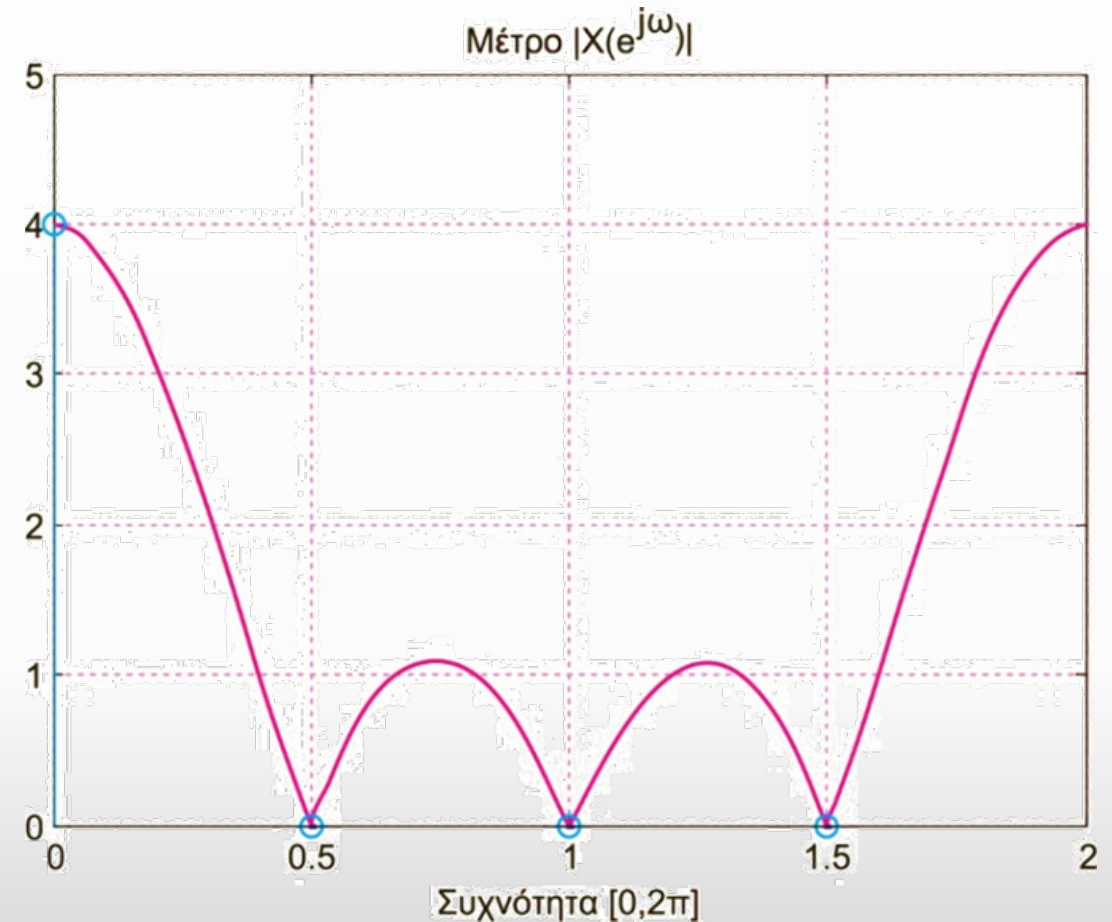
$$X(e^{j\omega}) = e^{-\frac{j3\omega}{2}} \frac{\sin(2\omega)}{\sin(\omega/2)}$$

## Διακριτός μετασχηματισμός Fourier

Παράδειγμα(συνέχεια): (α) Να υπολογιστεί ο DFT 4-σημείων του παλμού  $x[n] = u[n] - u[n - 4]$

Φάσμα πλάτους **DTFT** και **DFT 4-σημείων**  
του παλμού  $x[n] = u[n] - u[n - 4]$   
στην περιοχή συχνοτήτων  $[0, 2\pi)$

Τα σημεία του DFT προκύπτουν με δειγματοληψία στον DTFT,  
 $X[k] = X(e^{j\omega})|_{\omega=\pi k/2}, \quad k = 0, 1, 2, 3$



## Διακριτός μετασχηματισμός Fourier

**Παράδειγμα:** (β) Να επαναληφθεί η επίλυση για DFT 8-σημείων ( $N = 8$ ), αφού εφαρμοστεί η διαδικασία προσθήκης μηδενικών (zero padding) στην ακολουθία  $x[n]$ .

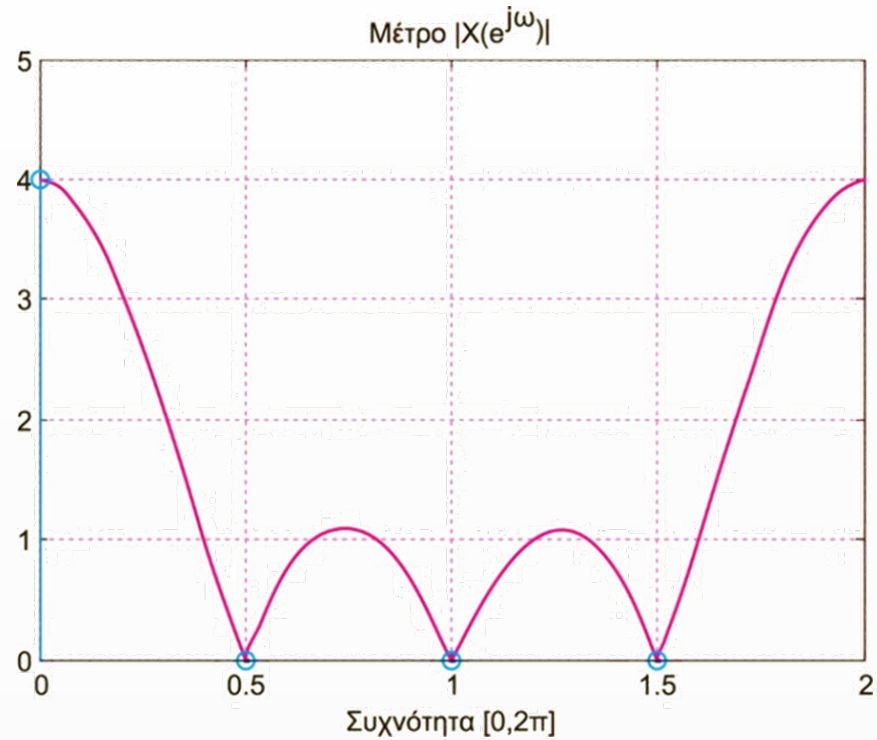
**Απάντηση:** Ο DFT 8-σημείων του παλμού  $x[n] = u[n] - u[n - 4]$  είναι:

$$X[k] = \sum_{n=0}^7 x[n] W_8^{nk}, \quad 0 \leq k \leq 7$$

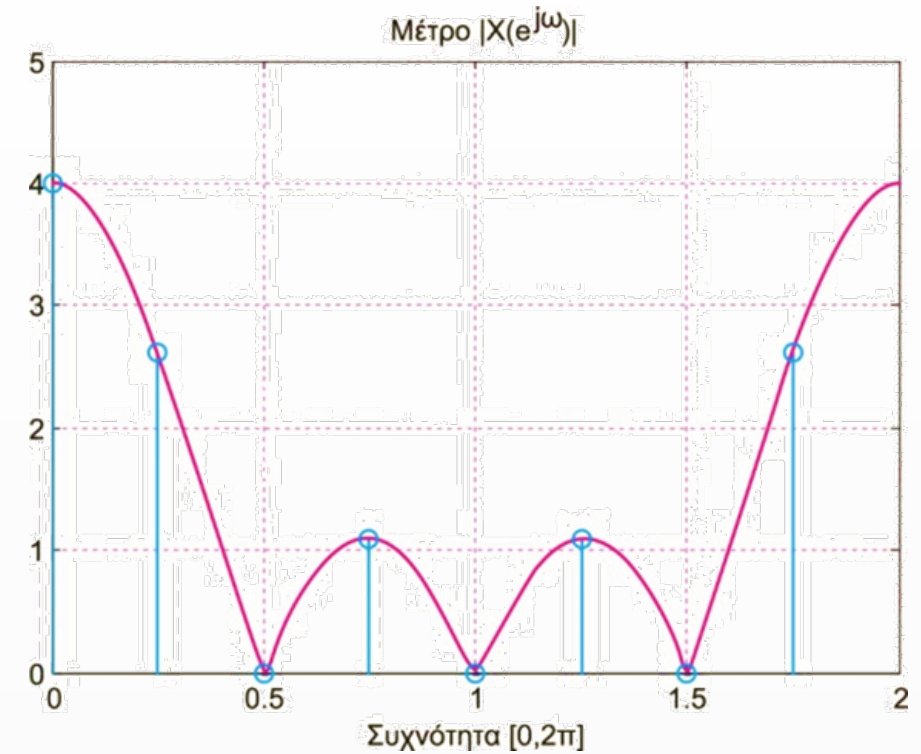
Υπολογίζουμε τα σημεία  $X[k]$  για  $0 \leq k \leq 7$ . Είναι:

$$\begin{aligned} X[0] &= 1W_8^0 + 1W_8^0 + 1W_8^0 + 1W_8^0 + 0W_8^0 + 0W_8^0 + 0W_8^0 + 0W_8^0 = 4 \\ X[1] &= 1W_8^0 + 1W_8^1 + 1W_8^2 + 1W_8^3 + 0W_8^4 + 0W_8^5 + 0W_8^6 + 0W_8^7 = 1 - 2.41j \\ X[2] &= 1W_8^0 + 1W_8^2 + 1W_8^4 + 1W_8^6 + 0W_8^8 + 0W_8^{10} + 0W_8^{12} + 0W_8^{14} = 0 \\ X[3] &= 1W_8^0 + 1W_8^3 + 1W_8^6 + 1W_8^9 + 0W_8^{12} + 0W_8^{15} + 0W_8^{18} + 0W_8^{21} = 1 - 0.41j \\ X[4] &= 1W_8^0 + 1W_8^4 + 1W_8^8 + 1W_8^{12} + 0W_8^{16} + 0W_8^{20} + 0W_8^{24} + 0W_8^{28} = 0 \\ X[5] &= 1W_8^0 + 1W_8^5 + 1W_8^{10} + 1W_8^{15} + 0W_8^{20} + 0W_8^{25} + 0W_8^{30} + 0W_8^{35} = 1 + 0.41j \\ X[6] &= 1W_8^0 + 1W_8^6 + 1W_8^{12} + 1W_8^{18} + 0W_8^{24} + 0W_8^{30} + 0W_8^{36} + 0W_8^{42} = 0 \\ X[7] &= 1W_8^0 + 1W_8^7 + 1W_8^{14} + 1W_8^{21} + 0W_8^{28} + 0W_8^{35} + 0W_8^{42} + 0W_8^{49} = 1 + 2.41j \end{aligned}$$

## Διακριτός μετασχηματισμός Fourier



DFT 4-σημείων



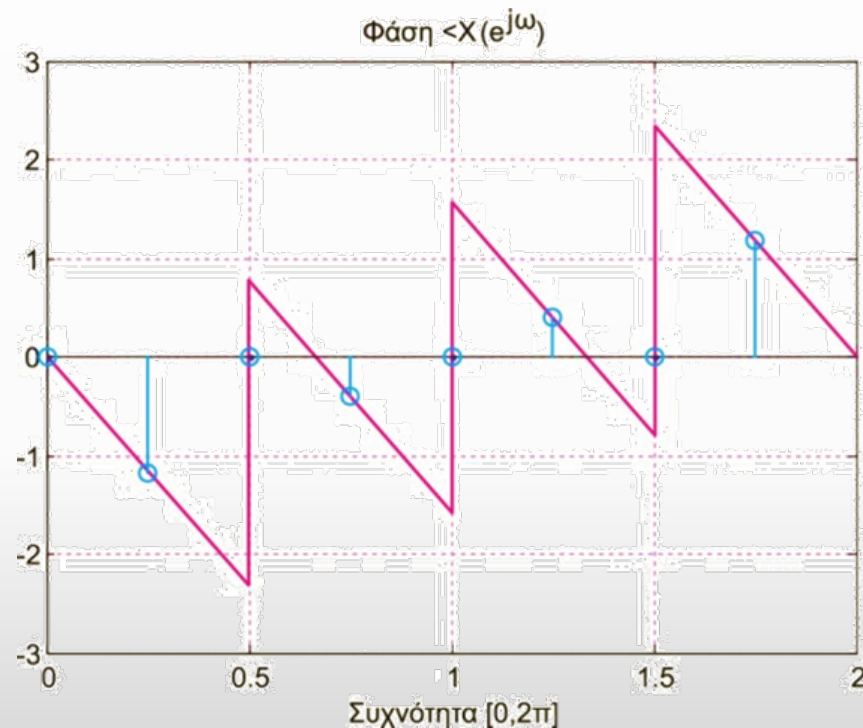
DFT 8-σημείων

Φάσμα πλάτους

## Διακριτός μετασχηματισμός Fourier

- Το πλάτος και η φάση του DFT έχουν άρτια και περιττή συμμετρία, αντίστοιχα. Επομένως, κρατάμε μόνο το τμήμα  $[0, \pi)$ , δηλαδή

$$X[k], k = 0, 1, \dots, (N/2) - 1$$



DFT 8-σημείων

Φάσμα φάσης

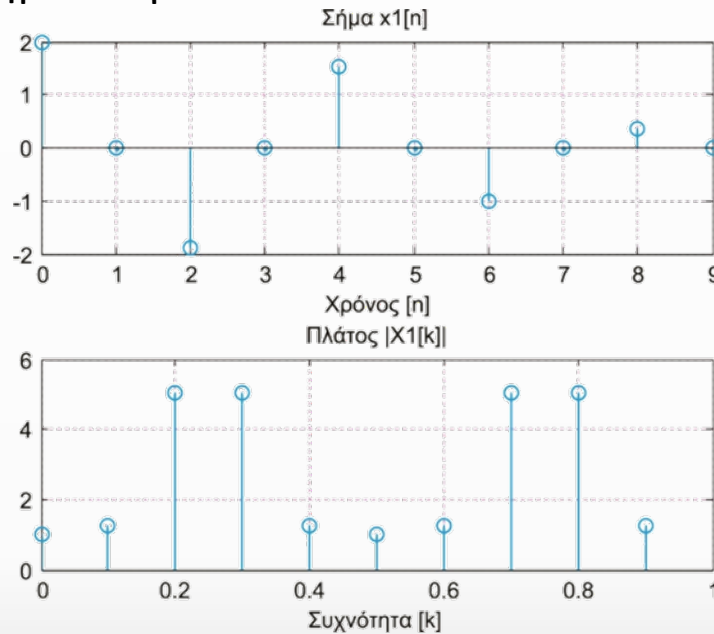
## Διακριτός μετασχηματισμός Fourier

Παράδειγμα: Περιοδικό σήμα  $x[n] = \cos\left(\frac{4\pi n}{9}\right) + \cos\left(\frac{5\pi n}{9}\right)$

(α) DFT 10-σημείων για  $0 \leq n \leq 9$

(β) DFT 100-σημείων για  $0 \leq n \leq 9$  και τα υπόλοιπα 90 σημεία μηδενικά. (γ) DFT 100-σημείων για  $0 \leq n \leq 99$ .

Σήμα μήκους 10 σημείων και φάσμα πλάτους DFT 10 σημείων.



Σήμα μήκους 10 σημείων και 90 μηδενικών και φάσμα πλάτους DFT 100 σημείων.

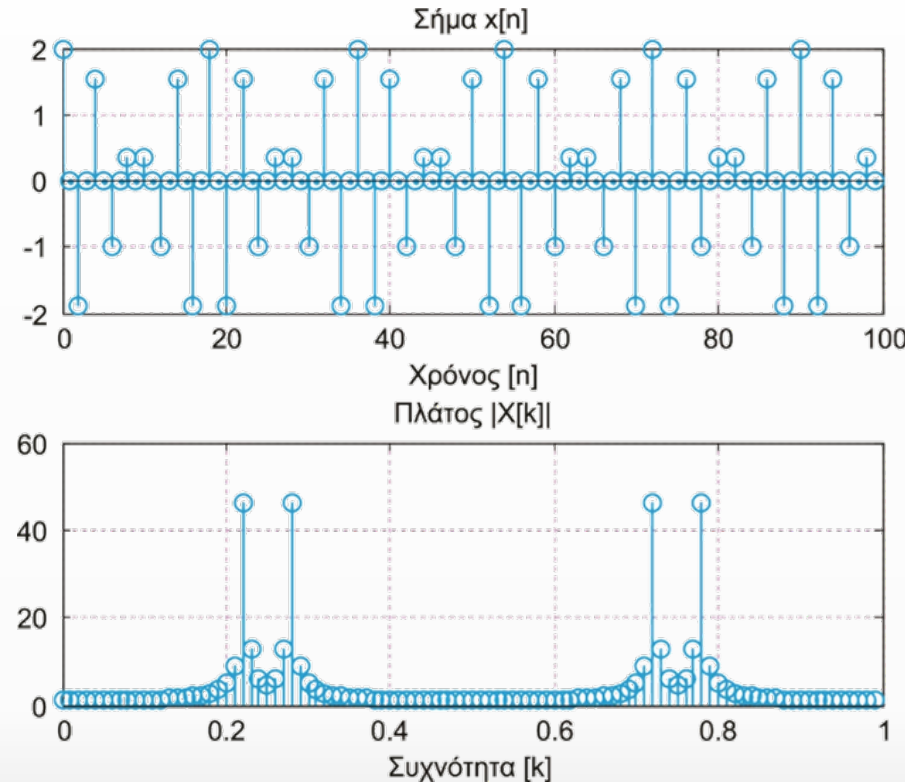
Η προσθήκη μηδενικών και ο υπολογισμός DFT μεγαλύτερου μήκους, αύξησε την πυκνότητα του φάσματος, αλλά δεν κατάφερε όμως να εντοπίσει τις δύο διαφορετικές συχνότητες που περιέχει το σήμα  $x[n]$ , καθώς αποδίδονται ως μία κορυφή.



## Διακριτός μετασχηματισμός Fourier

Παράδειγμα: Ακολουθία  $x[n] = \cos\left(\frac{4\pi n}{9}\right) + \cos\left(\frac{5\pi n}{9}\right)$

(γ) DFT 100-σημείων για  $0 \leq n \leq 99$ .



Σήμα μήκους 100 σημείων και  
φάσμα πλάτους DFT 100  
σημείων

Η προσθήκη περισσότερων περιόδων του σήματος και ο υπολογισμός DFT μεγαλύτερου μήκους, **αύξησε την ευκρίνεια** του φάσματος και εντοπίστηκαν με ακρίβεια οι δύο διαφορετικές συχνότητες που περιέχει το σήμα  $x[n]$ .



## Διακριτός μετασχηματισμός Fourier με Πίνακες

- Ο υπολογισμός του DFT  $N$  σημείων ενός σήματος  $x[n]$  μήκους  $N$   $\mathbf{x}[n] = [x[0], x[1], \dots, x[N-1]]$  μπορεί να γίνει με την χρήση πινάκων ως εξής:

$$\mathbf{X}^T = \mathbf{W}_N \mathbf{x}^T$$

$\mathbf{x}^T = \{x[0], x[1], \dots, x[N-1]\}$  ανάστροφος πίνακας (στήλη) ακολουθίας εισόδου

$\mathbf{X}^T = \{X[0], X[1], \dots, X[N-1]\}$  ανάστροφος πίνακας (στήλη) της ακολουθίας συντελεστών του DFT

$\mathbf{W}_N$  συμμετρικός πίνακας διαστάσεων  $N \times N$  που δημιουργείται από τους παράγοντες φάσης:

$$\mathbf{W}_N = \begin{bmatrix} 1 & 1 & 1 & \dots & 1 \\ 1 & W_N^1 & W_N^2 & \dots & W_N^{N-1} \\ 1 & W_N^2 & W_N^4 & \dots & W_N^{2(N-1)} \\ \vdots & \vdots & \vdots & \dots & \vdots \\ 1 & W_N^{N-1} & W_N^{2(N-1)} & \dots & W_N^{(N-1)(N-1)} \end{bmatrix}$$

## Διακριτός μετασχηματισμός Fourier με Πίνακες

Ο  $W_N$  συμμετρικός πίνακας διαστάσεων  $N \times N$  που δημιουργείται από τους παράγοντες φάσης νως εξής:

$$\begin{aligned}
 & \begin{matrix} & j=1 & j=2 & j=3 & j=\dots & j=N \\ \begin{matrix} i=1 \\ i=2 \\ i=3 \\ i=\dots \\ i=N \end{matrix} & \begin{bmatrix} W_N^{(i-1)(j-1)} & W_N^{(i-1)(j-1)} & W_N^{(i-1)(j-1)} & \dots & W_N^{(i-1)(j-1)} \\ W_N^{(i-1)(j-1)} & W_N^{(i-1)(j-1)} & W_N^{(i-1)(j-1)} & \dots & W_N^{(i-1)(j-1)} \\ W_N^{(i-1)(j-1)} & W_N^{(i-1)(j-1)} & W_N^{(i-1)(j-1)} & \dots & W_N^{(i-1)(j-1)} \\ \dots & \dots & \dots & \dots & \dots \\ W_N^{(i-1)(j-1)} & W_N^{(i-1)(j-1)} & W_N^{(i-1)(j-1)} & \dots & W_N^{(i-1)(j-1)} \end{bmatrix} & = & \begin{bmatrix} W_N^{(0)(0)} & W_N^{(0)(1)} & W_N^{(0)(2)} & \dots & W_N^{(0)(N-1)} \\ W_N^{(1)(0)} & W_N^{(1)(1)} & W_N^{(1)(2)} & \dots & W_N^{(1)(N-1)} \\ W_N^{(2)(0)} & W_N^{(2)(1)} & W_N^{(2)(2)} & \dots & W_N^{(2)(N-1)} \\ \dots & \dots & \dots & \dots & \dots \\ W_N^{(N-1)(0)} & W_N^{(N-1)(1)} & W_N^{(N-1)(2)} & \dots & W_N^{(N-1)(N-1)} \end{bmatrix} \\ & & & & = & \begin{bmatrix} 1 & 1 & 1 & \dots & 1 \\ 1 & W_N^1 & W_N^2 & \dots & W_N^{(N-1)} \\ 1 & W_N^2 & W_N^4 & \dots & W_N^{2(N-1)} \\ \dots & \dots & \dots & \dots & \dots \\ 1 & W_N^{(N-1)} & W_N^{2(N-1)} & \dots & W_N^{(N-1)(N-1)} \end{bmatrix}
 \end{aligned}$$

## Διακριτός μετασχηματισμός Fourier με Πίνακες

Κάθε στήλη  $\mathbf{W}_i$  του πίνακα  $\mathbf{W}_N$  ονομάζεται διάνυσμα βάσης του DFT:

$$\mathbf{W}_i = \begin{bmatrix} W_N^{0i} \\ W_N^{1i} \\ W_N^{2i} \\ \vdots \\ W_N^{(N-1)i} \end{bmatrix} = \begin{bmatrix} 1 \\ W_N^i \\ W_N^{2i} \\ \vdots \\ W_N^{(N-1)i} \end{bmatrix}$$

Αν υπάρχει ο αντίστροφος πίνακας  $\mathbf{W}_N^{-1}$ , τότε ο αντίστροφος DFT δίνεται από:

$$\mathbf{x}^T = \mathbf{W}_N^{-1} \mathbf{X}^T$$

Επειδή ισχύει  $\mathbf{W}_N^{-1} = (1/N)\mathbf{W}_N^*$ , όπου  $\mathbf{W}_N^*$  είναι ο συζυγής μιγαδικός πίνακας του  $\mathbf{W}_N$ , προκύπτει ότι ο αντίστροφος DFT είναι:

$$\mathbf{x}^T = \frac{1}{N} \mathbf{W}_N^* \mathbf{X}^T$$

Στην συνέχεια θα δούμε έναν πιο αποδοτικό τρόπο υπολογισμού του DFT, ο οποίος αξιοποιεί τις ιδιότητες συμμετρίας του DFT και του παράγοντα φάσης και μειώνει πολύ το πλήθος των απαιτούμενων πράξεων.

## Διακριτός μετασχηματισμός Fourier με Πίνακες

Παράδειγμα: Να υπολογιστεί ο DFT 4-σημείων της ακολουθίας  $x[n] = [1, 3, 5, 7]$

Ο πίνακας  $W_4$  είναι:

$$W_4 = \begin{bmatrix} W_4^0 & W_4^0 & W_4^0 & W_4^0 \\ W_4^0 & W_4^1 & W_4^2 & W_4^3 \\ W_4^0 & W_4^2 & W_4^4 & W_4^6 \\ W_4^0 & W_4^3 & W_4^6 & W_4^9 \end{bmatrix} = \begin{bmatrix} 1 & 1 & 1 & 1 \\ 1 & -j & -1 & j \\ 1 & -1 & 1 & -1 \\ 1 & j & -1 & -j \end{bmatrix}$$

Οι τιμές του DFT υπολογίζονται από:

$$X^T = W_N x^T \Rightarrow \begin{bmatrix} X[0] \\ X[1] \\ X[2] \\ X[3] \end{bmatrix} = \begin{bmatrix} W_4^0 & W_4^0 & W_4^0 & W_4^0 \\ W_4^0 & W_4^1 & W_4^2 & W_4^3 \\ W_4^0 & W_4^2 & W_4^4 & W_4^6 \\ W_4^0 & W_4^3 & W_4^6 & W_4^9 \end{bmatrix} \begin{bmatrix} x[0] \\ x[1] \\ x[2] \\ x[3] \end{bmatrix}$$

## Διακριτός μετασχηματισμός Fourier με Πίνακες

Παράδειγμα(συνέχεια): Να υπολογιστεί ο DFT 4-σημείων της ακολουθίας  $x[n] = [1, 3, 5, 7]$

$$= \begin{bmatrix} 1 & 1 & 1 & 1 \\ 1 & -j & -1 & j \\ 1 & -1 & 1 & -1 \\ 1 & j & -1 & -j \end{bmatrix} \begin{bmatrix} 1 \\ 3 \\ 5 \\ 7 \end{bmatrix} \Rightarrow$$

$$\mathbf{X}^T = \begin{bmatrix} X[0] \\ X[1] \\ X[2] \\ X[3] \end{bmatrix} = \begin{bmatrix} 16 \\ -4 + 4j \\ -4 \\ -4 - 4j \end{bmatrix}$$

Επομένως ο DFT είναι:  $X[k] = [16, -4 + 4j, -4, -4 - 4j]$

## Διακριτός μετασχηματισμός Fourier με Πίνακες

Παράδειγμα(συνέχεια): Και ο υπολογισμός του αντιστρόφου

$$\begin{aligned}x^T &= \frac{1}{N} W_N^* X^T \Rightarrow \\x^T &= \frac{1}{4} W_4^* X^T = \frac{1}{4} \begin{bmatrix} 1 & 1 & 1 & 1 \\ 1 & -j & -1 & j \\ 1 & -1 & 1 & -1 \\ 1 & j & -1 & -j \end{bmatrix}^* \begin{bmatrix} 16 \\ -4 + 4j \\ -4 \\ -4 - 4j \end{bmatrix} \Rightarrow \\x^T &= \frac{1}{4} \begin{bmatrix} 1 & 1 & 1 & 1 \\ 1 & j & -1 & -j \\ 1 & -1 & 1 & -1 \\ 1 & -j & -1 & +j \end{bmatrix} \begin{bmatrix} 16 \\ -4 + 4j \\ -4 \\ -4 - 4j \end{bmatrix} \Rightarrow \\x^T &= \frac{1}{4} \begin{bmatrix} 4 \\ 12 \\ 20 \\ 28 \end{bmatrix} = \begin{bmatrix} 1 \\ 3 \\ 5 \\ 7 \end{bmatrix}\end{aligned}$$

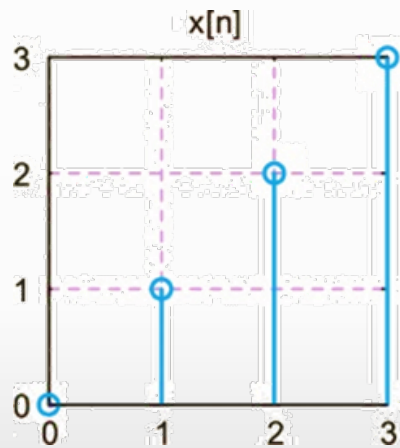
Άρα ο IDFT είναι η  $x[n] = [1, 3, 5, 7]$

## Κυκλική Συνέλιξη

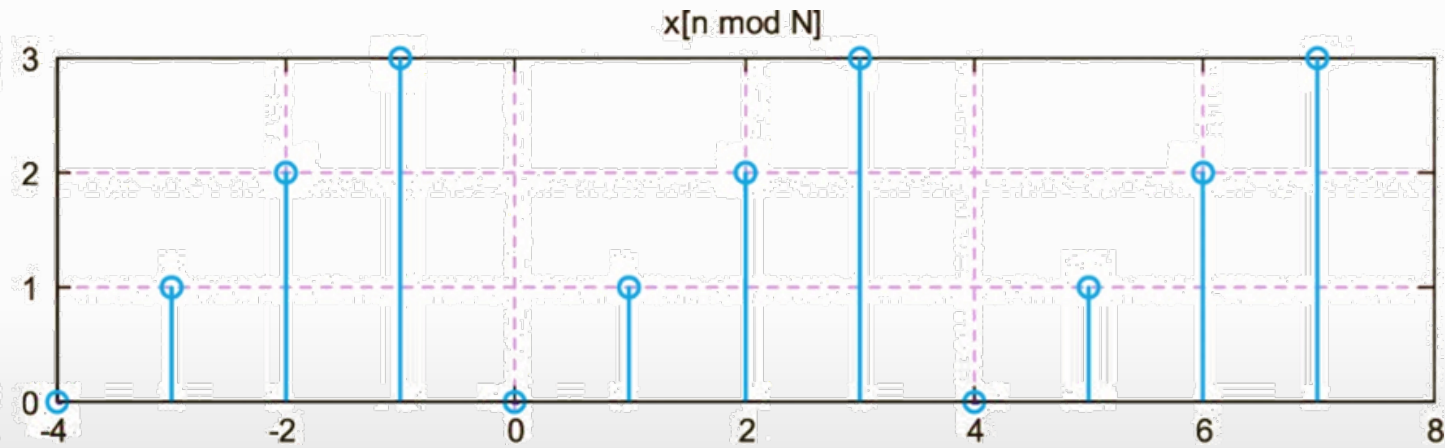
- Περιοδική επέκταση της ακολουθίας πεπερασμένου μήκους  $x[n], n \in [0, N - 1]$  ανά  $N$  δείγματα είναι η περιοδική ακολουθία με θεμελιώδη περίοδο  $N$

$$\tilde{x}[n] = x[n \bmod N] = x[[n]]_N$$

Ακολουθία πεπερασμένου μήκους  
 $x[n]$



Η περιοδική επέκτασή της  $\tilde{x}[n] = x[n \bmod 4] = x[[n]]_4$



## Κυκλική Συνέλιξη

- Η περιοδική συνέλιξη δύο περιοδικών σημάτων διακριτού χρόνου με την ίδια θεμελιώδη περίοδο  $N$  ορίζεται :

$$\tilde{x}[n] \widetilde{\circledast}_N \tilde{y}[n] = \sum_{k=0}^{N-1} \tilde{x}[k] \cdot \tilde{y}[n - k] = \sum_{k=0}^{N-1} \tilde{y}[k] \cdot \tilde{x}[n - k]$$

- Παρατηρούμε ότι η μοναδική διαφορά μεταξύ των δύο ειδών συνέλιξης είναι ότι στην περιοδική συνέλιξη το άθροισμα υπολογίζεται σε μια **απλή περίοδο**, ενώ στη γραμμική συνέλιξη υπολογίζεται για **όλες τις τιμές του  $k$** .
- Για τον υπολογισμό της περιοδικής συνέλιξης μπορούν να χρησιμοποιηθούν οι ίδιοι τρόποι που παρουσιάστηκαν στις προηγούμενες ενότητες για τον υπολογισμό της γραμμικής συνέλιξης.



## Κυκλική Συνέλιξη

Επομένως, η περιοδική συνέλιξη είναι:

$$\tilde{y}[n] = \{\dots, -1, 1, 7, 5, -\hat{1}, 1, 7, 5, -1, 1, 7, 5, \dots\}$$

Παράδειγμα: Να υπολογιστεί η περιοδική συνέλιξη μεταξύ των ακολουθιών  $x[n] = \{\hat{0}, 1, 2, 3\}$  και  $h[n] = \{1, \hat{2}, 0, -1\}$ .

Απάντηση: Χρησιμοποιούμε το sliding rule τρόπο υπολογισμού του αθροίσματος:

$$\tilde{y}[n] = \sum_{k=0}^{N-1} \tilde{x}[k] \tilde{h}[n-k]$$

k	-4	-3	-2	-1	0	1	2	3	
$x[k]$					0	1	2	3	
$h[k]$				1	2	0	-1		
$\tilde{h}[k]$	2	0	-1	1	2	0	-1	1	Περιοδική επέκταση
$\tilde{h}[-k]$	2	1	-1	0	2	1	-1	0	Αναδίπλωση
$\tilde{h}[0-k]$	2	1	-1	0	2	1	-1	0	$\tilde{y}[0] = 2 \cdot 0 + 1 \cdot 1 + 2 \cdot (-1) + 3 \cdot 0 = -1$
$\tilde{h}[1-k]$	0	2	1	-1	0	2	1	-1	$\tilde{y}[1] = 0 \cdot 0 + 2 \cdot 1 + 1 \cdot 2 + (-1) \cdot 3 = 1$
$\tilde{h}[2-k]$	-1	0	2	1	-1	0	2	1	$\tilde{y}[2] = (-1) \cdot 0 + 0 \cdot 1 + 2 \cdot 2 + 1 \cdot 3 = 7$
$\tilde{h}[3-k]$	1	-1	0	2	1	-1	0	2	$\tilde{y}[3] = 1 \cdot 0 + (-1) \cdot 1 + 0 \cdot 2 + 2 \cdot 3 = 5$

περίοδος  $N = 4$

## Κυκλική Συνέλιξη

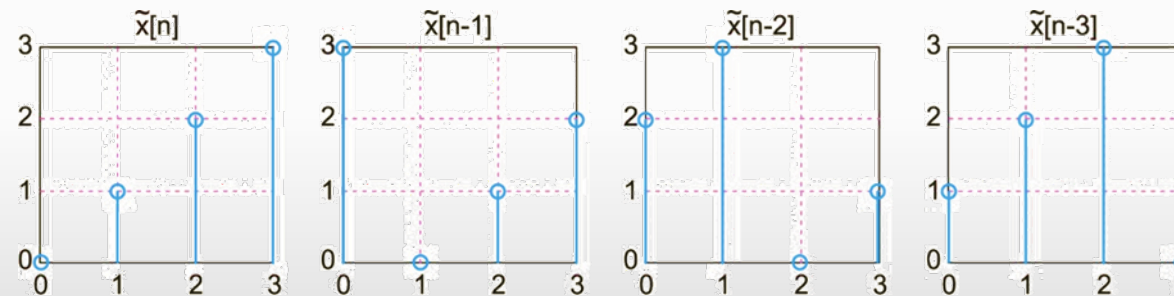
Η **κυκλική μετατόπιση** της περιοδικής επέκτασης  $\tilde{x}[n]$  μιας ακολουθίας  $x[n]$ , κατά μία ποσότητα χρόνου  $n_0$ , ορίζεται από τη σχέση:

$$\tilde{x}[n - n_0] = x[[n - n_0]]_N R_N[n]$$

όπου το ορθογώνιο παράθυρο  $R_N[n]$  ορίζεται από την παρακάτω σχέση και πολλαπλασιαζόμενο με το σήμα εξάγει μία περίοδο του σήματος:

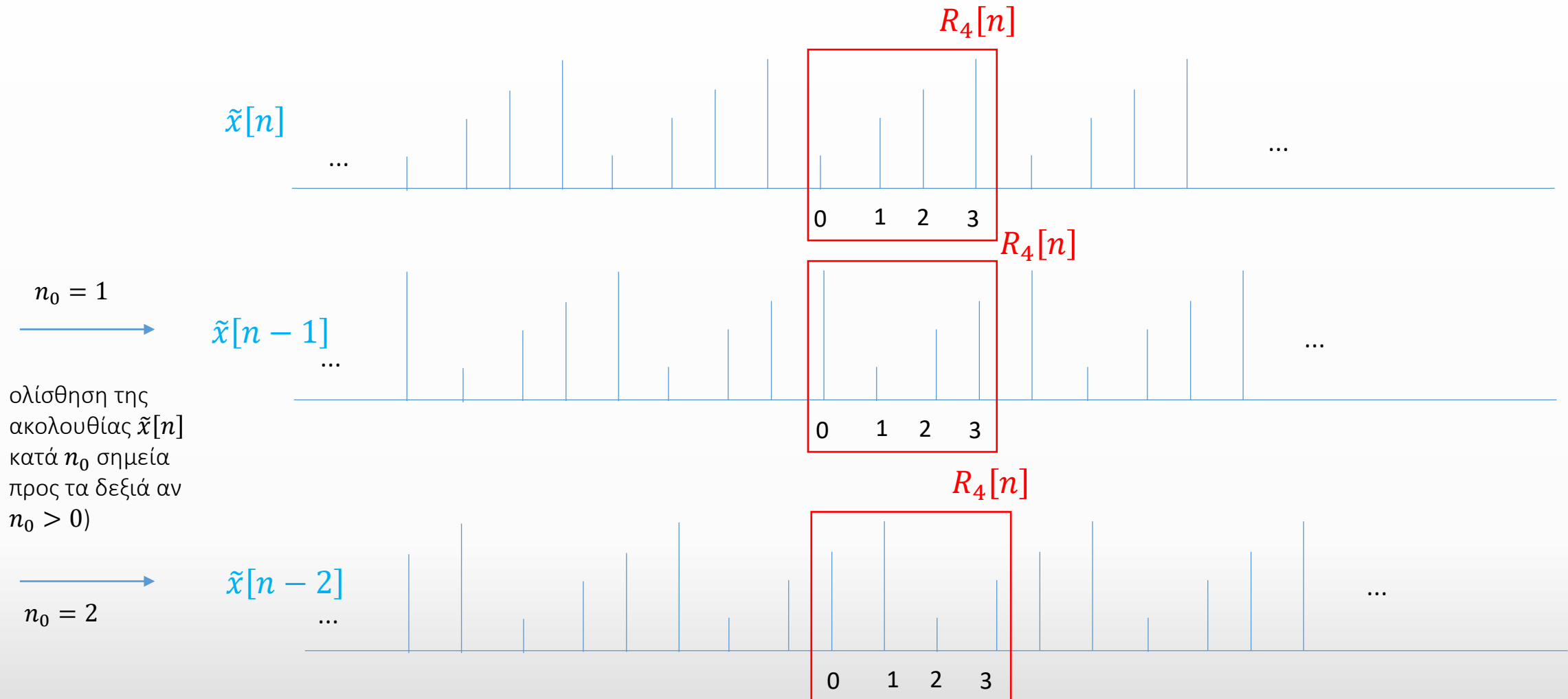
$$R_N[n] = \begin{cases} 1, & 0 \leq n < N \\ 0, & \text{αλλού} \end{cases}$$

Η κυκλική μετατόπιση πραγματοποιείται με την ολίσθηση της ακολουθίας  $\tilde{x}[n]$  κατά  $n_0$  σημεία (προς τα αριστερά αν  $n_0 < 0$  ή προς τα δεξιά αν  $n_0 > 0$ ) και τη διατήρηση μόνο του τμήματος που βρίσκεται μέσα στη θεμελιώδη περίοδο  $N$ . Η διαδικασία δείχνεται στο σχήμα:



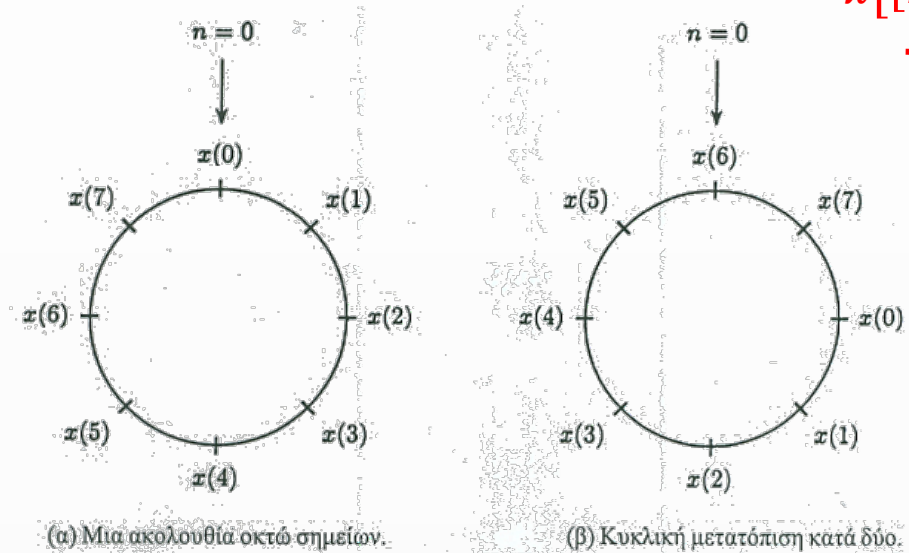
Κυκλική μετατόπιση της περιοδικής επέκτασης  $\tilde{x}[n]$ , σε μία περίοδο.

## Κυκλική Συνέλιξη



## Κυκλική Συνέλιξη

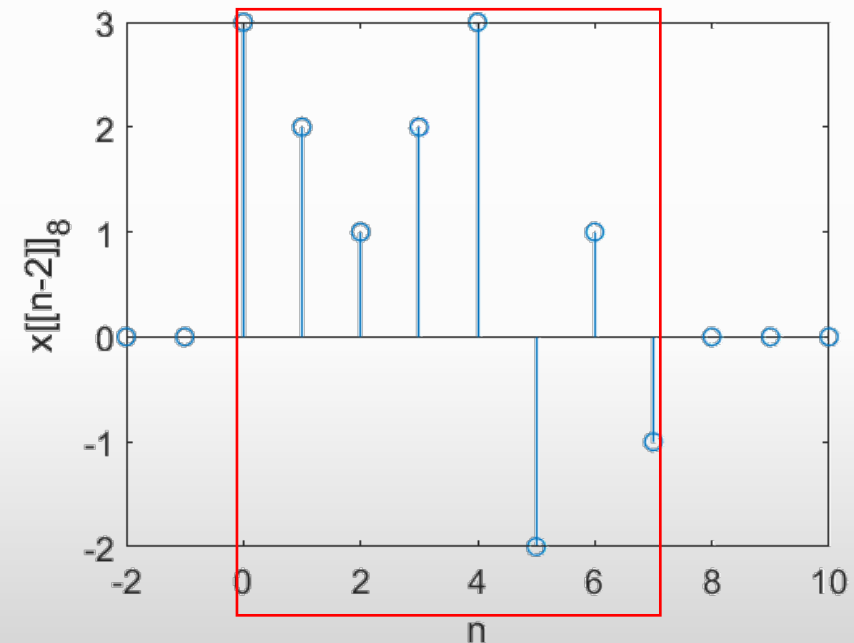
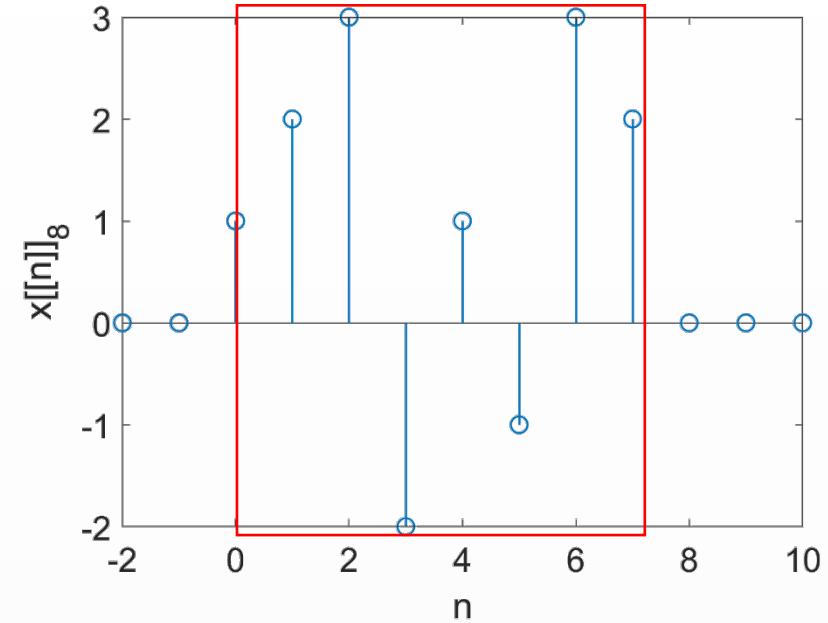
- Κυκλική μετατόπιση



$$x[n]_8$$

$$x[n - 2]_8$$

$x[n - n_o]_8$  όταν  $n_o > 0$



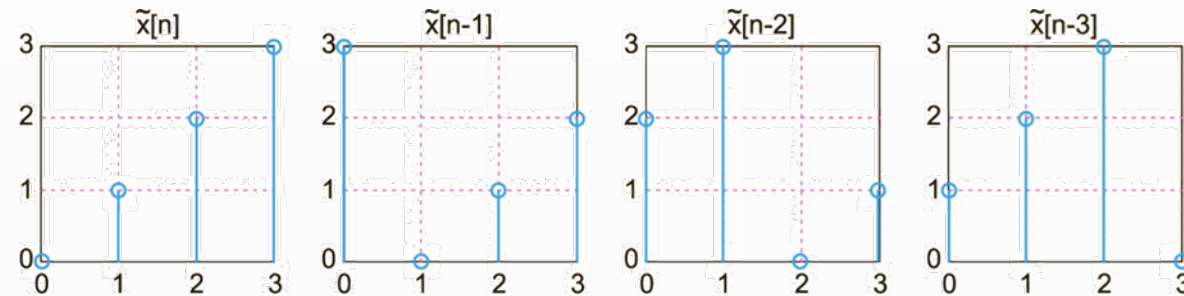
## Κυκλική Συνέλιξη

Με εφαρμογή της σχέσης

$$\tilde{x}[n - n_0] = x[[n - n_0]]_N R_N[n]$$

προκύπτει ότι οι ακολουθίες που απεικονίζονται στο σχήμα περιγράφονται από τις ακόλουθες σχέσεις:

- $\tilde{x}[n] = x[[n]]_4 R_4[n]$
- $\tilde{x}[n - 1] = x[[n - 1]]_4 R_4[n]$
- $\tilde{x}[n - 2] = x[[n - 2]]_4 R_4[n]$
- $\tilde{x}[n - 3] = x[[n - 3]]_4 R_4[n]$



- η κυκλική μετατόπιση δημιουργεί διαφορετική ακολουθία από την απλή χρονική μετατόπιση

Εξαιτίας αυτής της διαφοράς προκύπτει το διαφορετικό αποτέλεσμα μεταξύ της γραμμικής συνέλιξης και της κυκλικής συνέλιξης.

# Ψηφιακή Επεξεργασία Σήματος & Εικόνας

Ελληνικό Μεσογειακό Πανεπιστήμιο  
Τμήμα Ηλεκτρονικών Μηχανικών

Α. Μπακλέζος

[abaklezos@hmu.gr](mailto:abaklezos@hmu.gr)